ОСОБЕННОСТИ КВАДРИПОЛЬНОЙ УСТАНОВКИ ИЗМЕРЕНИЙ ПРИ ИССЛЕДОВАНИИ МЕТОДАМИ СОПРОТИВЛЕНИЙ И ВЫЗВАННОЙ ПОЛЯРИЗАЦИИ

© 2002 г. А.К.Матевосян

Институт геологических наук НАН РА 375019 Ереван, пр Маршала Баграмяна, 24а, Республика Армения, E-mail: ramelk@sci am Поступила в редакцию 16 05 2001 г.

С использованием ранее предложенных критериев достоверности и разрешающей способности измерений и с учетом условия принятия решения о наличии аномалий проводимости и поляризуемости на примерах разнотипных геоэлектрических моделей оценена эффективность площадных электроразведочных исследований квадрипольной установкой.

В зарубежной литературе [6,7,8] традиционно большое внимание уделяется площадным электроразведочным работам методом сопротивлений с использованием квадрипольной установки, состоящей из двух взаимно перпендикулярных автономных питающих (токовых) линий (биполей или диполей) и двух взаимно перпендикулярных приемных (измерительных) линий (диполей) Ранее нами рассматривались особенности электроразведочных исследований методами сопротивлений и вызванной поляризации различными (произвольными) многоэлектродными системами возбуждения электрического поля [3], предлагались необходимые критерии (достоверности и разрешающей способности) измерений [4,5], анализировались взаимосвязь и особенности проявления различных параметров кажущегося сопротивления и кажущейся поляризуемости [1,2]. В данной статье представим аналогичные зависимости (в виде карт изолиний различных параметров) для тех же геоэлектрических моделей при квадрипольной системе возбуждения электрического поля и попытаемся путем их сравнения сделать соответствующие выводы об их эффективности (оптимальности) в том или ином случае.

Для анализа характера возбуждаемого электрического поля квадрипольной установки Q и сопоставления ее с многоэлектродной установкой ABCD, рассмотренной в [3-5], на рис 1 приведены карты изолиний минимальной величины вектора плотности тока (jmin) трехэлектродных (ABC. ABD. ACD. BCD) и четырехэлектродных (AD-BC. Q) систем возбуждений, характеризующихся не более одной системой возбуждения вращающегося электрического поля в произвольном пункте наблюдений. Расчеты проведены при координатах A(-60,-50), B(-30,70), C(70,-30), D(50,60) н центра квадрипольной установки Q - (-60.50)(в метрах) с разносом соответствующих (вдоль осей х и у) питающих линий, равным 40 м для планшета съемки: -126 м ≤(х,у)≤126 м, при шаге по х и у, равном 4.5 м. На рис. 1 те области планшета, где величина ј меньше некоторого (в данном случае заданного 0 000005 A/M) порогового значения - затемнены

С целью изучения проявления первичного электрического поля (необходимого при исследованиях методом вызванной поляризации), возбуждаемого квадрипольной установкой Q, в зависимости от характера распределения удельного электрического сопротивления, приведены карты

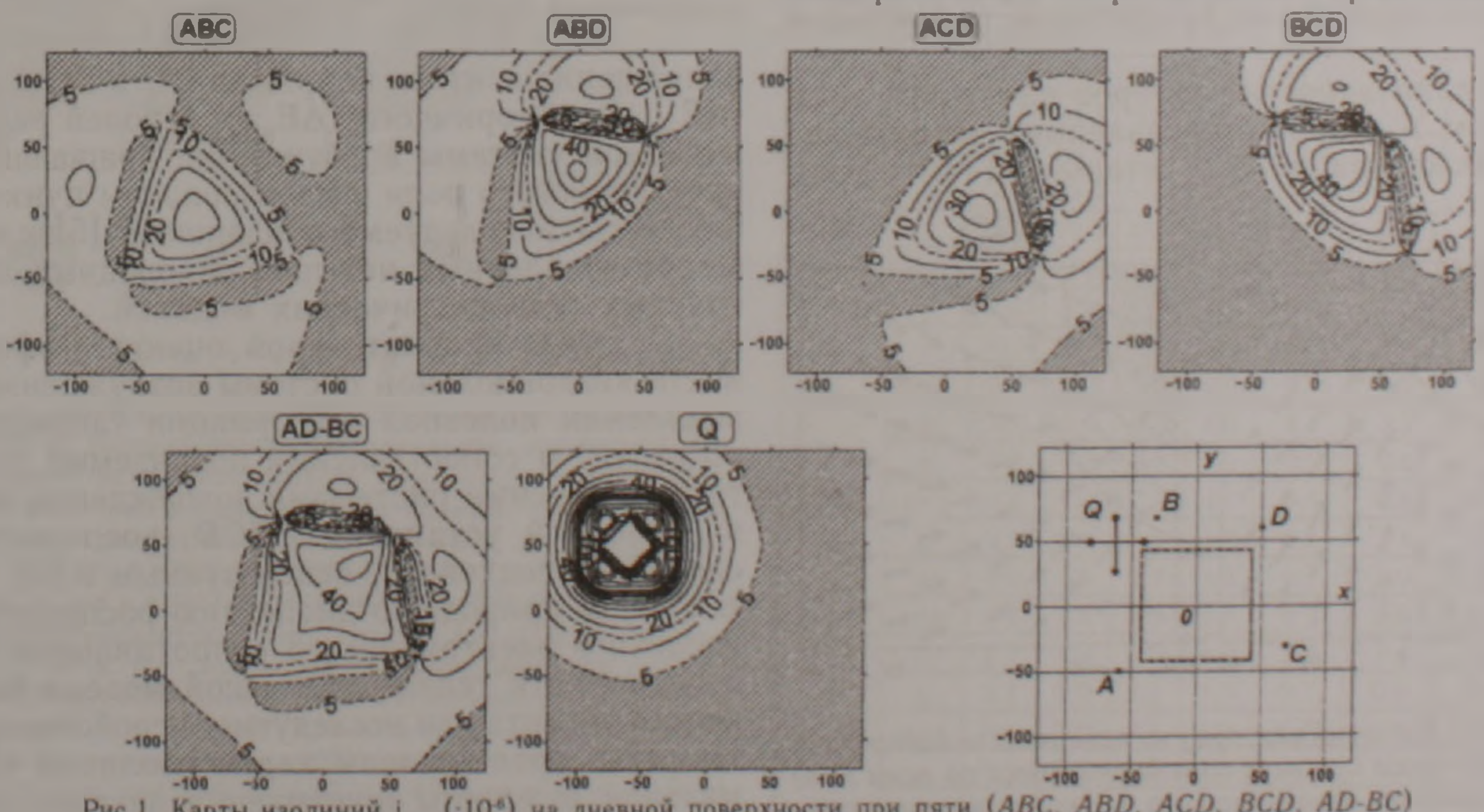


Рис.1. Карты изолиний ј_{тип} (-10-6) на дневной поверхности при пяти (ABC, ABD, ACD, BCD, AD-BC) многоэлектродных и квадрипольной (Q) системах возбуждения электрического поля.

изолиний минимальной величины вектора напряженности первичного поля (Е рис. 26, в, г,д) для четырех однородных анизотропных геоэлектрических моделей при р = 1200 Ом м и р = 800 Ом м, η = 0.01 и η = 0.05 α = 75° и β, равном 40°(6), 80°(в), -10°(г), -50°(д) для планшета съемки: -42 м≤(x,y)≤42 м, при шаге по x и y, равном 1.5 м Здесь р, и р - удельное электрическое сопротивление вдоль и поперек плоскости простирания одноосной анизотропии; η, и η поляризуемости при тех же направлениях; а угол падения плоскости анизотропии; В - угол между простиранием плоскости анизотропии и осью у против часовой стрелки. На этих картах области планшета съемки, где величины ј Е меньше заданных (принятых соответственно равными $0.000005A/м^2$ и 0.01~B/м) пороговых значений - затемнены. При сопоставлении карт Е (рис 26, в, г, д) с картой ј (рис. 2, а) можно

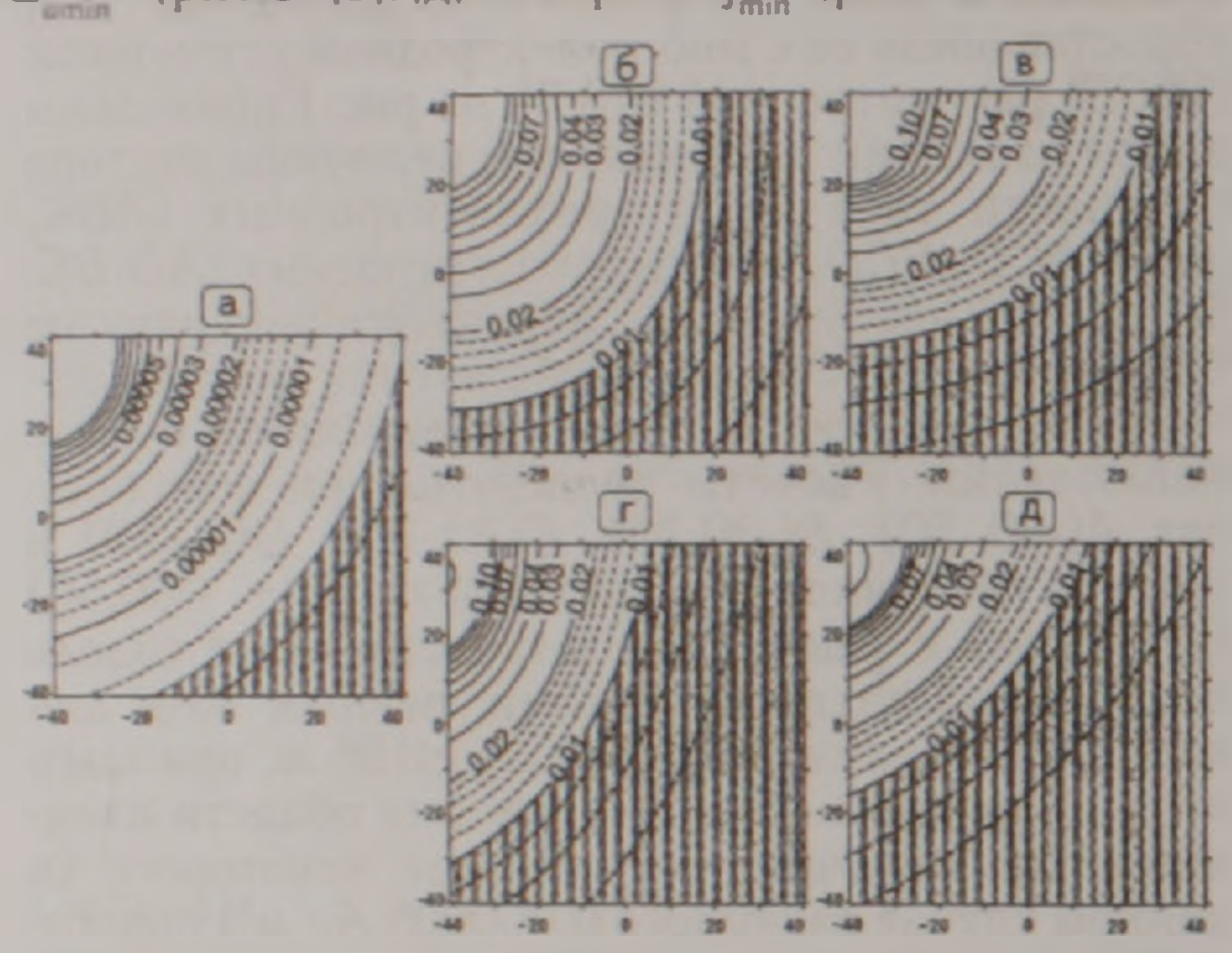


Рис 2 Карты изолиний і (а) и Е (б — В=40°, в — 80°, г — -10°; д — -50°) на поверхности различных однородных анизотропных сред при квадрипольной системе возбуждения электрического поля

проследить зависимость эффективности исследования вторичного поля рассматриваемой системы возбуждения от проявления первичного поля.

О коллинеарности векторов плотности тока при одном и втором направлениях возбуждаемого поля квадрипольной установкой позволяют

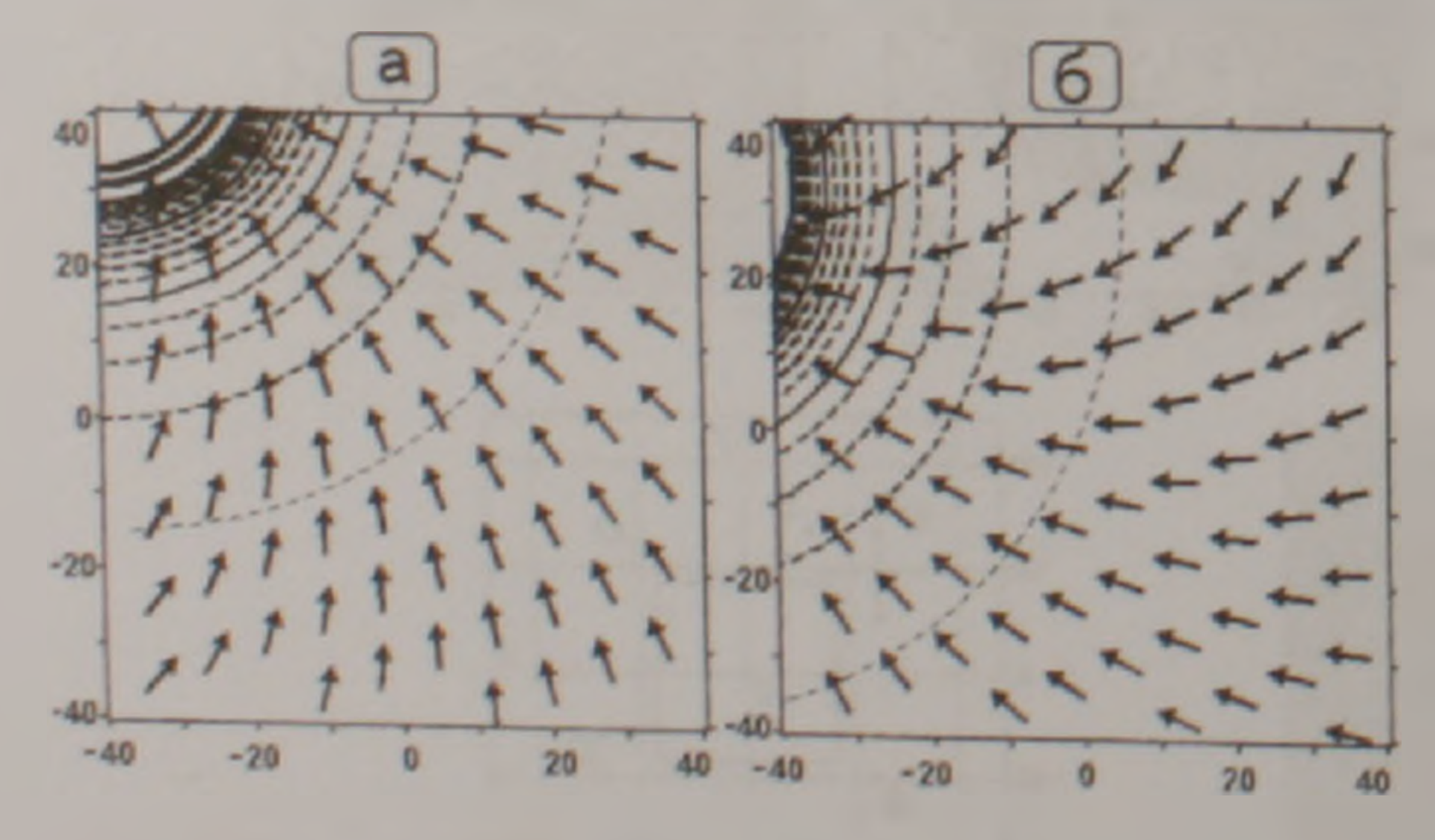


Рис 3 Карты изолиний вектора ј на поверхности однородной изотропной среды при двух ориентированных по осям x (a) у (б) и слагающих квадрипольную установку двухэлектродных системах возбуждения электрического поля

судить карты, приведенные на рис 3 Нетрудно заметить, что для всей площади рассматриваемого планшета эти векторы скрещены (почти ортогональны), что уже предварительно позволяет предположить об ее эффективности, однако они характеризуются относительно малыми величинами (при сопоставлении с системой возбуждения AD-BC, рис. 1), что, безусловно, сказывается на достоверности измерений квадрипольной установкой. Предварительный анализ представленных карт (рис.1-3) наглядно показывает на существенное неоднородное (резко выраженное градиентное) проявление электрического поля при системе возбуждения Q на изучаемом планшете съемки, что может привести к неравноценным (неравнозначным) результатам исследований в различных его частях (при этом существенно будут сказываться на результатах и незначительные изменения размеров и отклонения ориентировки ортогональных приемных линий от принятых х и у направлений). Наряду с этим, для проведения исследования всего планшета необходимо значительное увеличение мощности источника (источников) тока, используемого при создании требуемого электрического поля.

Для анализа характера возбужденного электрического поля установкой Q, на рис.4 приведены карты изолиний максимальной величины

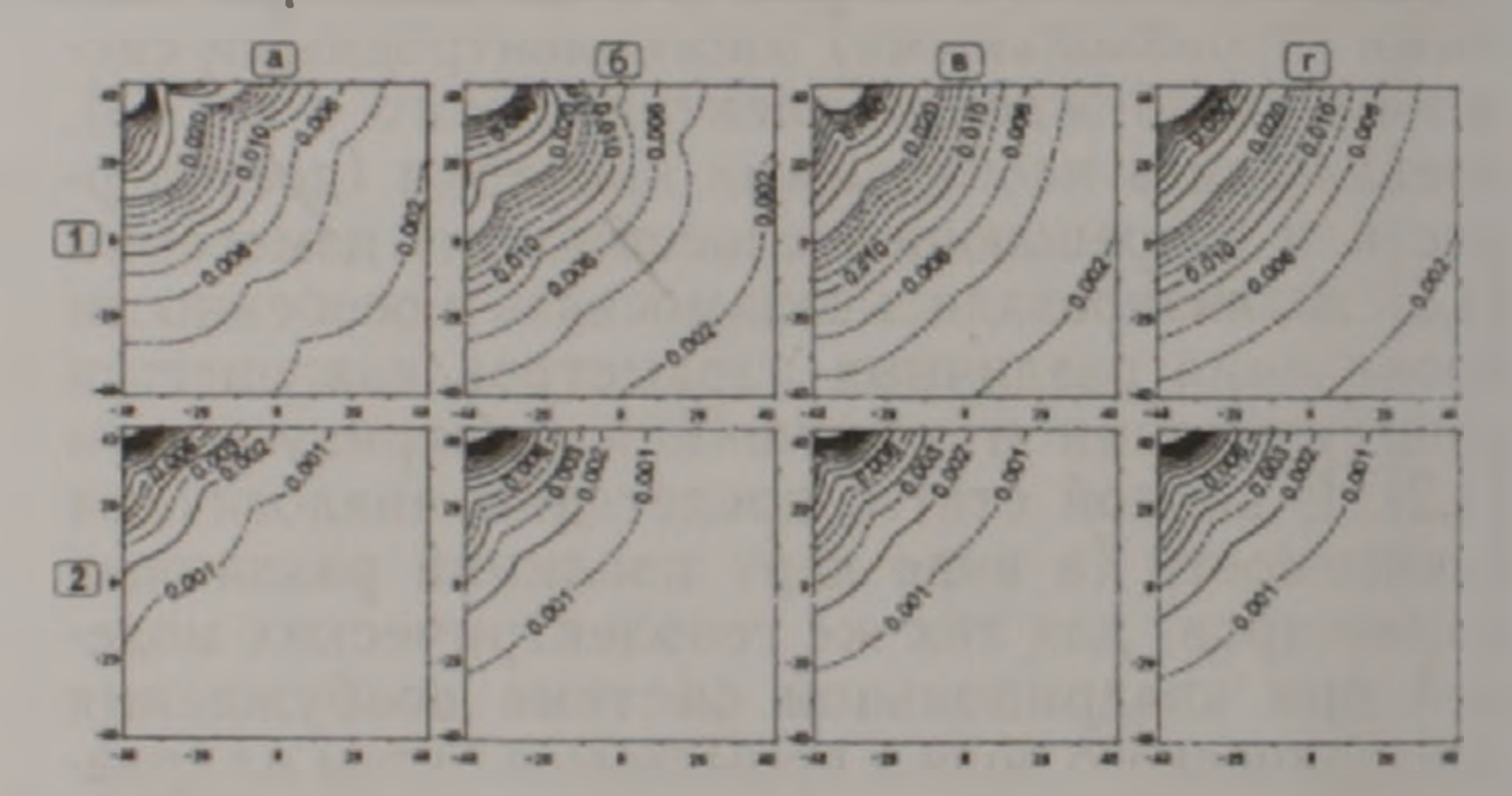


Рис 4 Карты изолиний ΔE_{omax} (1) и $\Delta E_{BR_{BR_{omax}}}$ (2) на поверхности различных однородных анизотропных сред (а — β =40°; б — 80°; в — -10°; г — 50°) при квадрипольной системе возбуждения электрического поля

приращения вектора напряженности первичного ($\Delta E_{\text{впмах}}$) и вторичного ($\Delta E_{\text{впмах}}$) полей рассматриваемой системы возбуждения вращающегося электрического поля в произвольном пункте наблюдений иссследуемого планшета [5] для вышепредставленных четырех однородных анизотропных геоэлектрических моделей.

С целью окончательной оценки эффективности квадрипольной системы возбуждения при выделении полезной информации (аномальных областей) и сопоставлении получаемых результатов с другими системами возбуждения много-электродной установки ABCD, воспользуемся способом (подходом), используемым в [5]: задав такую же природную дисперсию распределения удельного электрического сопротивления и поляризуемости геоэлектрической модели без искомого объекта или исследуемого свойства средына рис.5 представлены карты изолиний максимальной величины приращения вектора напряженности первичного (ΔE^{σ}) и вторичного

 $(\Delta E_{BIImax}^{\sigma})$ полей квадрипольной системы возбуждения для однородной изотропной среды при $\rho=1000\pm50$ Ом м и $\eta=0.01\pm0.005$. Приняв значения ΔE_{max}^{σ} и $\Delta E_{BIImax}^{\sigma}$ за величины среднеквадратичных отклонений, определены аномальные области, удовлетворяющие сформулированным условиям принятия решения о наличии аномалии, предложенным в [5].

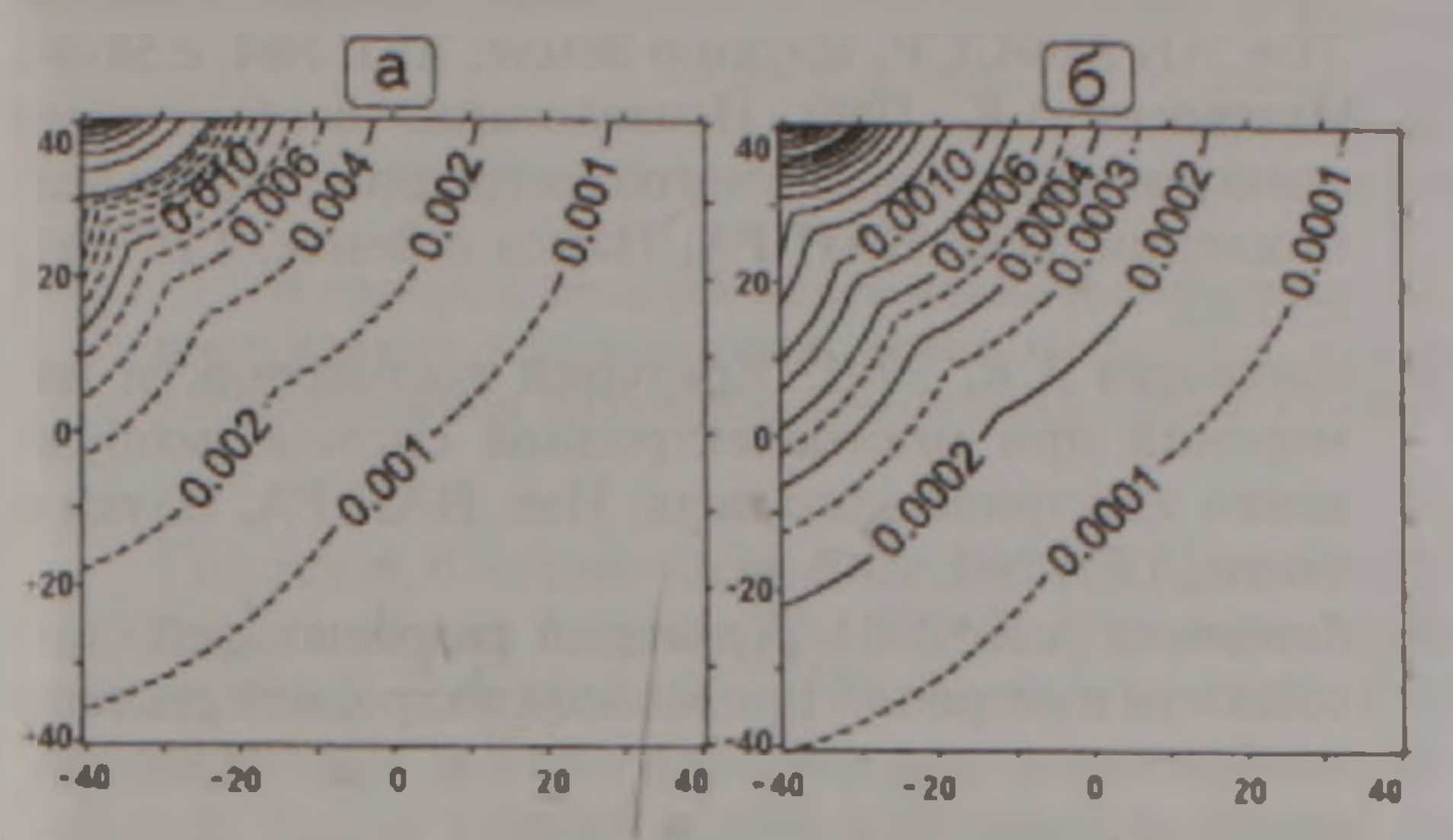
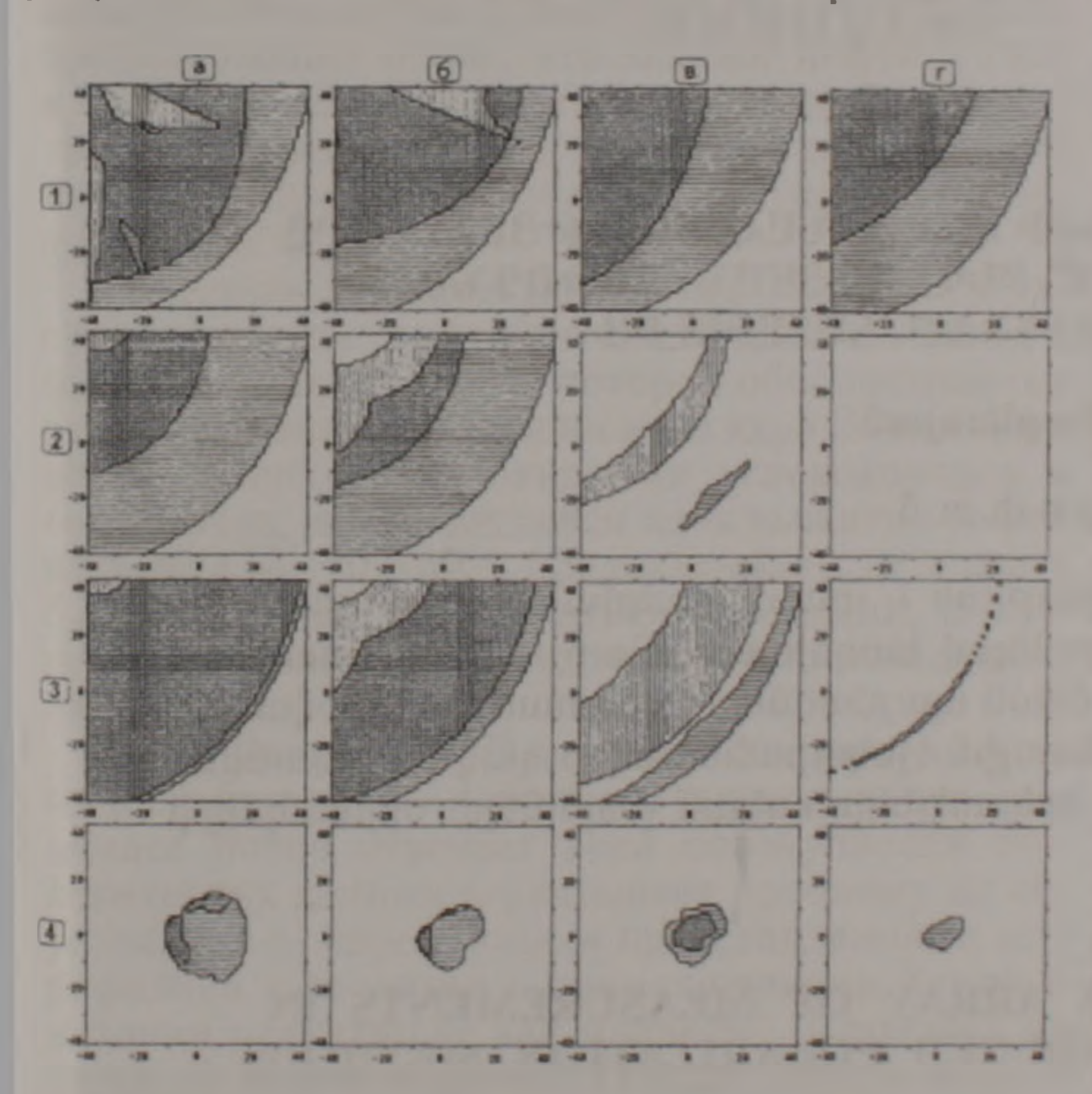


Рис 5 Карты изолиний $\Delta E_{o\,max}^{\sigma}$ (а) и $\Delta E_{B\Pi\,max}^{\sigma}$ (б) при квадрипольной системе возбуждения электрического поля

Приведенные карты аномальных областей проводимости и поляризуемости при исследовании различных геоэлектрических моделей квадрипольной системой возбуждения (рис.6) построены с учетом критериев достоверности [4], разрешающей способности [5] измерений и в



присутствии вышепринятой природной дисперсии электрических свойств однородной изотропной среды. Для количественной оценки эффективности каждой рассматриваемой системы возбуждения (квадрипольной Q и многоэлектродной ABCD установками измерений) в табл 1 приведены величины относительных площадей (в процентах, к площади всего планшета) аномалий проводимости (р), поляризуемости (п) и их одновременного (совместного) проявления (р+п) над различными геоэлектрическими моделями (согласно рис.6). В подавляющем большинстве слу-

Таблица 1

соэлен	ктричес	C	нстем	a Bo36	ужден	ия элек	Тричест	кого пол	18
кие модели			-		The second second	AB-CD			
la	P	48 9	77.5	87.1	63 8	64 9	57 9	83	66
	ŋ	85 7	69 1	67.7	41.4	49 8	52.3	97 8	50 4
	ρ+η	46 7	63 3	63.8	31.9	390	36 4	81 0	40.8
16	P	62 8	84 4	64.1	57 3	30 1	67.0	82 5	70
	η	85.0	57 7	793	46 9	57 7	45 7	98 0	45
	β+η	53 4	57.7	53.7	41.3		42 7	80 7	39
18	P	747	590	83 1	575	67.8	25.0	78 6	75
	η	82 6	71.4	64 6	58 9	47.6	511	100 0	34
	ρ+η	62 2	47.3	598	49 7	42 9	150	78 6	34
ir	ρ	59.4	41.7	29 5	53 2	36 9	50.2	510	76
	Ti	85 9	60 7	742	66 1	60 6	55 9	99 8	29
	ρ+η	59 2	26.8	25 7	48 6	31.7	42 0	51.0	29
2a		96.0	86 7	916	73.3	82.5	79.3		
	P	51.6	43.3	45.3				100.0	74 !
	n		1		38.2	21.4	25	82 1	251
	5+17	51.6	43.3	46 3	38 2	21 4	25.1	82.1	24
26	6	94 9	843	89 4	716	79 5	76.2	96.9	61
	η	60 0	48 8	51 3	42 2	30 0	34	87.6	26
	p+ŋ	596	47 6	50 2	41 2	29.0	32.8	85.5	15
2в	8	42 1	38 5	43.7	29 1	21 3	21.8	42.8	2.0
	η	71 7	55 4	57 9	44 9	40.3	419	86.7	12
	ρέη	34.0	24 0	29 3	166	13.1	13.8	41 3	00
2г	ρ	0.0	0.0	0.0	0.0	0.0	0.0	0.0	0.0
	η	40 3	312	37_2	21.3	18.4	19.9	51.7	0.0
	p+1)	0.0	0.0	0.0	0.0	0.0	0.0	00	00
3a	P	96 0	86 7	916	73 3	82.5	79.3	1000	74 9
	η	96 0	86 2	914	72 1	79 9	76.6	100 0	71 9
	ρ+η	96 0	86 2	914	72.1	79.9	76.6	1000	70.8
36	ρ	95 5	85.5	90 6	72.8	81_4	78 0	98 9	64
	η	96.0	84 8	90 7	69 4	760	719	1000	63 3
	ρ+η	95.5	83.7	897	68 9	74 9	70 6	98 9	53 0
Зв	ρ	59.6	51.7	55 4	375	32 1	31.8	57.8	125
	ŋ	93.3	77.6	85 1	61.2	65 5	60 4	97 6	36.8
	ρεη	58.5	46 6	52 0	31.4	26.0	24.7	57 8	0.0
3г	ρ	0.0	0.0	00	00	0.0	00	0.0	0.0
	η	66 6	53.2	58.9	36 3	33 1	33.6	72.3	1.9
	ρ+η	00	0.0	00	00	00	0.0	00	0.0
4 a	ρ	8.5	8 4	8.5	8.4	41	33	9.6	11.0
	η	77	7.3	7.8	4.1	06	0.4	8.7	2.5
	ρ+η	77	73	7.8	41	06	0.4	87	2.5
46	P	4.7	4.4	4.5	4.2	23	1.4	5.3	55
	ŋ	42	38	39	33	0.2	00	4.7	0.7
	ρ+η	4.2	38	39	33	02	0.0	4.7	0.7
48	P	4.7	43	4.5	4.0	2.3	1.4	5.1	5.0
	η	21	20	2.1	19	07	0.0	2.4	21
	ρ+η	21	2.0	2.1	19	0.7	0.0	2.4	2.1
	p	16	15	1.5	16	10	0.5	1.9	1.7
4r	η	00	00	0.0	00	0.0	0.0	00	0.0
	ρ+η	0.0	0.0	00	00	00	00	0.0	00

чаев (кроме аномалий проводимости на моделях 1г, 4а, 4б) величины относительных площадей аномалий, полученных квадрипольной установкой, меньше соответствующих значении при системе возбуждения AD-BC - наиболее эффективной при исследованиях многоэлектродной установкой АВСО [4,5] В ряде случаев (на моделях 2в, 3в) при изучении системой возбуждения Q наблюдается значительное смещение аномалий проводимости и поляризуемости, а на модели 2г вообще невозможно обнаружить исследуемый объект. Заметим также, что на моделях 4а, 4б аномалин поляризуемости при Q представлены двумя локальными (незначительными) областями, что, конечно, затрудняет истолкование данных, а на 4г - вообще отсутствуют. Наряду с этим, в некоторых случаях изучение проводимости моделей Iг, 4а, 46 системой возбуждения Q дает наиболее хорошие результаты среди всех рассматриваемых систем возбуждения.

Таким образом, резюмируя проведенные исследования с использованием квадрипольной установки, можно сказать, что наряду с относительно меньшей трудоемкостью полевых работ (связанных с разбивкой больших питающих линий, охватывающих планшет съемки) система возбуждения Q предъявляет более строгие требования к мощности источников тока и размеще-

нию приемных линий.

ЛИТЕРАТУРА

- 1. Матевосян А.К. 1988. Способ интерпретации результатов измерений методами сопротивлений и вызванной поляризации. Изв АН АрмССР, Науки о Земле, ХЦІ, №3, с.46-55.
- 2. Матевосян А.К. 1988. О системе параметров кажущегося сопротивления и кажущейся поляризуемости. Изв. АН АрмССР, Науки о Земле, XLI, №4, с.58-64
- 3. Матевосян А.К. 1999 Исследование особенностей электрических полей многоэлектродных систем возбуждения. Изв НАН РА, Науки о Земле, LII, №1. c.53-63.
- 4. Матевосян А.К. 2001. Критерий достоверности измерений при многоэлектродной системе возбуждения электрического поля. Изв. НАН РА, Науки о Земле, LIV, №1, с.42-46.
- 5. Матевосян А.К. 2001. Критерий разрещающей способности измерений при многоэлектродной системе возбуждения электрического поля Изв. НАН РА, Науки о Земле, LIV, №2, с.46-49.

Bibby H.M. 1986. Analysis of multiple-source bipolequadripole resistivity surveys using the apparent resistivity tensor. Geophysics, v.51, 4, p.972-983.

7. Doicin D. 1976. Quadripole-quadripole array for direct current resistivity measurements - model stu- dies. Geophysics, v.41, 1, p.79-95.

8. Yadav G.S., Singh C.L. 1983. The linear quadripole-dipole array in geoelectrical investigations. Geophy-sics, v.48, 8, p.1135-1139.

ՔՎԱԴՐԻՊՈԼ ՉԱՓՄԱՆ ԿԱՅԱՆՔԻ ԱՌԱՆՁՆԱՀԱՏԿՈՒԹՅՈՒՆՆԵՐԸ ԴԻՄԱԴՐՈՒԹՅԱՆ ԵՎ ՀԱՐՈՒՑՎԱԾ ԲԵՎԵՌԱՑՄԱՆ ՄԵԹՈԴՆԵՐՈՎ ՈՒՍՈՒՄՆԱՍԻՐՈՒԹՅՈՒՆՆԵՐ ԿԱՏԱՐԵԼԻՍ

Ա. Կ. Մաթևոսյան

Ushnhnis

Վաղ առաջարկված չափման հավաստիության և տարբերակման ընդունակության չափանիշների օգտագործմամբ ու հաշվի առնելով հաղորդականության և բևեռացման անոմալիաների արկայության լուծումն ընդունման պայմանները, գնահատված է քվադրիպոլ կայանքի արդյունավետությունը մակերեսային էլեկտրահետախուզական ուսումնասիրությունների ժամանակ տարբեր բնույթի երկրաէլեկտրական մոդելների օրինակների վրա:

THE FEATURES OF QUADRIPOLE ARRAY OF MEASUREMENTS IN STUDIES BY RESISTIVITY AND INDUCED POLARIZATION METHODS

A. K. Matevosvan

Abstract

The effectiveness of areal electric prospecting studies by means of a quadripole array is estimated by the examples of diverse types of geoelectric models using measurement reliability and resolution criteria proposed earlier and considering the need to decide on the presence of conductivity and polarizability anomaly.